

رابطه تغییرات پوشش / کاربری شهرستان شوستر با دمای سطح زمین با استفاده از طبقه‌بندی شیءگرا و الگوریتم پنجره مجزا

محمد عبیات^۱؛ مرتضی عبیات^{*۲}؛ مصطفی عبیات^۳

۱ - کارشناسی ارشد، مهندسی منابع طبیعی، گروه محیط‌زیست ارزیابی و آمایش سرزمین، دانشگاه آزاد اسلامی

واحد علوم و تحقیقات تهران (خوزستان)، اهواز، ایران

۲ - دانشجوی دکتری جغرافیا و برنامه ریزی روستایی، دانشکده علوم جغرافیایی و برنامه‌ریزی، دانشگاه اصفهان،

اصفهان، ایران

(تاریخ دریافت ۰۳/۲۶/۰۰-تاریخ پذیرش ۱۱/۰۶/۰۰)

چکیده:

فعالیت‌های انسانی مانند تغییرات کاربری اراضی، اثر مهمی بر دمای سطح زمین و ایجاد جزایر حرارتی دارد. هدف این پژوهش، بررسی تأثیر تغییر کاربری بر الگوی زمانی و مکانی دمای سطح زمین و جزایر حرارتی در شهرستان شوستر در طی سال‌های ۲۰۰۲ تا ۲۰۲۰ است. ابتدا تصاویر سال‌های ۲۰۱۳، ۲۰۰۲ و ۲۰۲۰ لندست با استفاده از روش پردازش شیءگرا، طبقه‌بندی و سپس دمای سطح زمین با الگوریتم پنجره مجزا استخراج شد. برای بررسی زمانی و مکانی دمای سطح زمین و جزایر حرارتی از پارامترهای NDVI، UHII و UHIII استفاده شده و دمای طبقات کم تا زیاد پوشش گیاهی استخراج شد. نتایج تغییرات کاربری زمین در دوره هجده ساله نشان داد که مناطق ساخته شده و بایر بهترتب ۲۱۸۹۵/۴۰ و ۲۶۷۶۱/۰۴ هکتار افزایش و پوشش گیاهی و پهنه‌های آب بهترتب ۴۳۷۹۰/۷۹ و ۴۸۶۵/۶۴ هکتار کاهش یافتند. نتایج حداکثر دمای کاربری‌ها، روند افزایشی دما در همه کاربری‌ها را آشکار کرد؛ بهشکلی که بین سال‌های ۲۰۰۲ تا ۲۰۲۰، چهار کاربری پوشش گیاهی، نواحی بایر، مناطق ساخته شده و پهنه‌های آب بهترتب با پوشش گیاهی متوسط و زیاد افزایش دما داشتند. برمنای نتایج پارامترهای UHII و UHIII، طبقات با پوشش گیاهی کم، بیشترین دما را نسبت به طبقات با پوشش گیاهی متوسط و زیاد داشتند و جزایر حرارتی در سال‌های ۲۰۱۳ و ۲۰۲۰ در نواحی شمال، جنوب شرق و شمال شرق شهرستان تشکیل شد.

کلید واژگان: تغییرات پوشش / کاربری، دمای سطح زمین، طبقه‌بندی شیءگرا، الگوریتم پنجره مجزا، شوستر

پدیده، برای برآورد شدت خسارات واردشده ضروری است (Vali *et al.*, 2019).

طبقه‌بندی از مراحل اصلی استخراج اطلاعات از تصاویر رقومی ماهواره‌ای است (Chen *et al.*, 2018). بهره‌مندی روش‌های پردازش شیء‌گرای تصاویر ماهواره‌ای از الگوریتم‌های دانش‌پایه، سبب جبران کاستی‌های روش پیکسل‌پایه در فرایند طبقه‌بندی تصاویر ماهواره‌ای شد (Salmani *et al.*, 2019). روش‌های شیء‌گرای نسبت به روش‌های سنتی طبقه‌بندی (Zhong *et al.*, 2020)، از داده‌های بیشتری مانند اطلاعات هندسی مربوط به اشکال عوارض و نحوه قرارگیری آنها، اطلاعات جانی در زمینه مدل‌های رقومی ارتفاع و پارامترهای متنوع تصویری برای طبقه‌بندی پدیده‌ها استفاده می‌کنند (Blaschke *et al.*, 2014).

فناوری سنجش از دور مادون قرمز حرارتی از بهترین ابزارهای بررسی خصایص دمای سطح زمین، است (Ghorbannia *et al.*, 2017).

برای تخمین دمای سطح زمین ماهواره‌های متعددی از جمله Terra Landsat NOAA و ASTER (Sentinel 3 و MODIS) وجود دارند که هر کدام از ویژگی‌های خاصی برخوردار است. در این پژوهش نیز با توجه به اینکه اغلب الگوریتم‌های تخمین دمای سطح زمین برای سری ماهواره‌های لندست طراحی شده‌اند و همچنین به دلیل آرشیو منظم و گستردۀ بیش از پنجاه ساله‌ای که سری این ماهواره در اختیار دارد (Fekrat *et al.*, 2020)، تصویری از لندست ۷ و ۸ انتخاب و استفاده شد. تا کنون الگوریتم‌های فراوانی مانند پنجره مجزا، زاویه دوتایی، کانال مجزا و امثال آنها توسط پژوهشگران برای سنجش دمای سطح زمین به کار رفته‌اند (Zarei *et al.*, 2021; Heydari & Akhoondzadeh Hanzaei, 2020).

۱. مقدمه

امروزه همگام با رشد جمعیت و افزایش تقاضای بهره‌برداری از زمین، شهرنشینی و صنعتی شدن مناطق مسکونی افزایش یافت (Bonye *et al.*, 2021). جریان یادشده، تغییرات کاربری زمین را موجب شد (Raut *et al.*, 2020). این تغییرات فشار زیادی بر عملکرد محیط زیست (Wolde *et al.*, 2021) از حیث سازوکار چرخه کربن و نیتروژن (McDaniel *et al.*, 2019)، آلدو (Sieber *et al.*, 2019) و تنوع بیولوژیکی وارد کرد (Wen *et al.*, 2020). پیامدهای این تغییرات در مقیاس خرد به افت کیفی محیط دامن زد که در بلندمدت سبب کاهش سطح کیفیت زندگی شد (Rodríguez *et al.*, 2019). (al., 2018). پیامدهای این تغییرات در مقیاس خرد به افت کیفی محیط دامن زد که در بلندمدت سبب کاهش Froese and Schilling, 2019). برپایه نظر اندیشمندان، تغییر کاربری زمین برای توسعه مناطق شهری، کشاورزی و جنگل‌زدایی، تغییرات رژیم دمای محیط را در پی خواهد داشت (Tran *et al.*, 2017).

دمای سطح زمین، عامل مهم تعادل و نوسان‌های گرمایی است که نماینده تغییرات اقلیمی به حساب می‌آید (Gohain *et al.*, 2021). افزایش دمای سطح زمین، پیامد جنگل‌زدایی و گسترش مجتمع‌های زیستی است (Huang *et al.*, 2019). افزایش دما در هر ناحیه، جزایر حرارتی را تشکیل می‌دهد (Mathew *et al.*, 2018) و تغییر کاربری مسکونی، منشأ این پدیده است (Kowe *et al.*, 2021). عواملی همچون اقلیم، ساختار سکونتگاهی، انتشار حرارت از منابع انسانی، آلودگی هوا و موقعیت جغرافیایی، در تشدید پدیده جزایر حرارتی اثرگذارند (Borhani *et al.*, 2020). از این رو ارزیابی و پیش‌بینی خطرهای ناشی از این وقوع، شدت رخداد و پیش‌بینی خطرهای ناشی از این

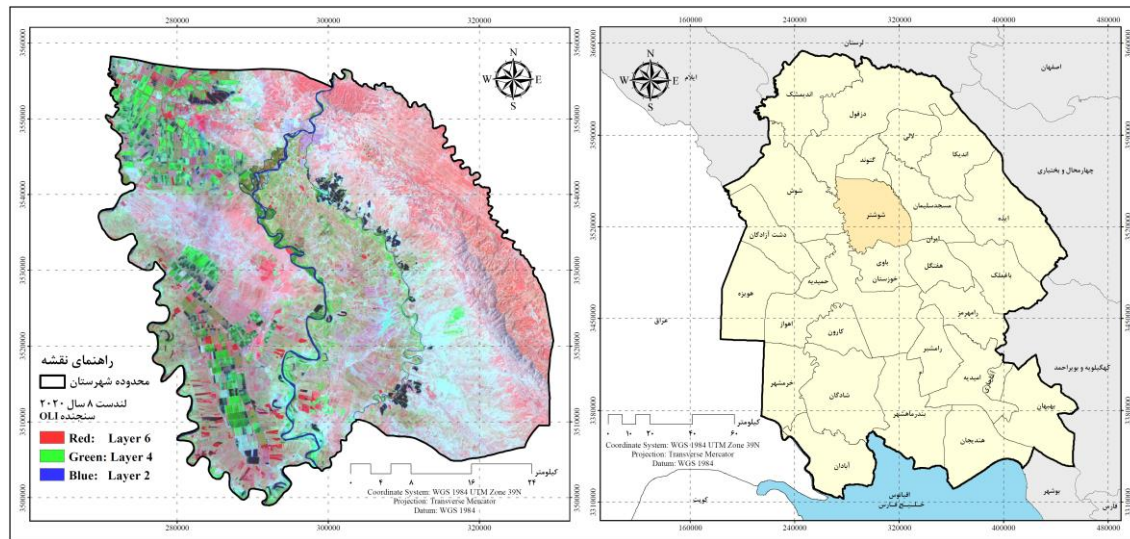
و کاهش پوشش گیاهی، روند افزایش دمای سطح زمین Kiani-Salmi و Ebrahimi (۲۰۱۸)، به بررسی تأثیر توسعه شهری و تغییر پوشش اراضی بر دمای سطح زمین در شهرکرد پرداختند. نتایج نشان داد که با توسعه شهری مقدار دمای سطح زمین برابر ۲/۲۱ درجه سانتی گراد افزایش یافته است. در این پژوهش، همبستگی شاخص NDVI با نقشه دمای سطح زمین منفی است و در محدوده فضای سبز با LST رابطه معنی داری نسبت به اراضی شهری و بایر دارد. Shabani و همکاران (۲۰۱۹)، به بررسی تأثیر تغییرات کاربری اراضی بر الگوهای زمانی و مکانی دمای سطح زمین و جزایر حرارتی در شهرستان سقز پرداختند. نتایج بیانگر روند افزایشی دما در کاربری های نواحی مسکونی، بایر و پوشش گیاهی طی دوره پژوهش بود و با توجه به نتایج شاخص های UHII و UHIII طبقه دارای پوشش گیاهی کم، بیشترین دما را نسبت به طبقات با پوشش گیاهی متوسط و زیاد داشت. براساس نتایج این شاخص ها جزایر حرارتی در سال های ۲۰۰۸ و ۲۰۱۸ در نواحی شمال شرق این منطقه رخ داده است.

Darvishi و همکاران (۲۰۱۹)، اثر تغییرات کاربری را بر دمای سطح زمین در شهرستان مریوان بررسی کردند. نتایج نشان داد با افزایش مساحت نواحی مسکونی و بایر و نیز با کاهش پوشش گیاهی و زمین های کشاورزی در دوره ۱۹۸۴ تا ۲۰۱۷، دما روندی افزایشی را در کاربری ها داشته است. Khedmatzadeh و همکاران (۲۰۲۱)، برای تحلیل تغییر کاربری و تشکیل جزایر حرارتی در حریم شهر ارومیه در سال های ۲۰۱۰ تا ۲۰۱۸، از تصاویر ETM+ و OLI/TIRS لndست استفاده کردند. نتایج نشان داد که با افزایش نواحی مسکونی و توسعه شهر، اراضی باغی و زراعی روند

برپایه تلفیق دو باند حرارتی استوار است. این روش با تلفیق باندهای حرارتی مجاور، تأثیرات اتمسفری را کاهش می دهد (Wang et al., 2019). الگوریتم برای افزایش کارایی و دقت اندازه گیری دمای سطح زمین از Niclòs et al., (2021) TIRS و OLI بهره می برد.

تحقیقات بسیاری به بررسی رابطه تغییرات کاربری و دمای سطح زمین پرداختند. Shi و همکاران (۲۰۱۷)، تأثیرات الگوی زمانی و مکانی جزایر حرارتی را با رویکرد رگرسیونی کاربری مدل سازی کردند و نتیجه گرفتند که الگوی فضایی جزایر حرارتی با نقشه های کاربری و پوشش زمین ژئومورفومتری شهری در نواحی مسکونی پر تراکم به ویژه در شب تعیین می شود و مدل های حاصل برای غنی سازی ضوابط طراحی شهری فعلی و کمک به مقابله با تشکیل جزایر حرارتی به کار می روند. Wang و همکاران (۲۰۱۸)، الگوهای تغییر کاربری اراضی و اثرهای بالقوه آنها بر تغییر دمای سطح زمین را در یانگون میانمار بررسی کردند. نتایج نشان داد که تغییرات کاربری اثر مستقیمی بر دمای سطح زمین داشته است.

این اثر در نواحی شهری بیشتر مشاهده شد. Juárez و همکاران (۲۰۲۱)، به بررسی اثر تغییر پوشش زمین شهری بر الگوی مکانی زمانی دمای سطح زمین در شهر مریدای مکزیک پرداختند. در این پژوهش، داده های به دست آمده از تصاویر ماهواره ای لndست برای محاسبه تغییرات کاربری، LST و NDVI بررسی شد. نتایج نشان داد که نابودی پوشش گیاهی، سبب افزایش دمای سطح زمین و ایجاد پدیده جزیره حرارتی شده است. Akbari و همکاران (۲۰۱۶) دمای سطح زمین را در ارتباط با روند تغییرات کاربری در حوضه آبخیز طالقان بررسی کردند. نتایج نشان داد که بیشترین LST در مناطق مسکونی و اراضی بایر است که افزایش بیابان زایی



شکل ۱- موقعیت جغرافیایی منطقه (ترکیب رنگی کاذب ۶-۴-۲ تصویر لندست ۸ سال ۲۰۲۰)

۲. مواد و روش ها

۱- منطقه پژوهش

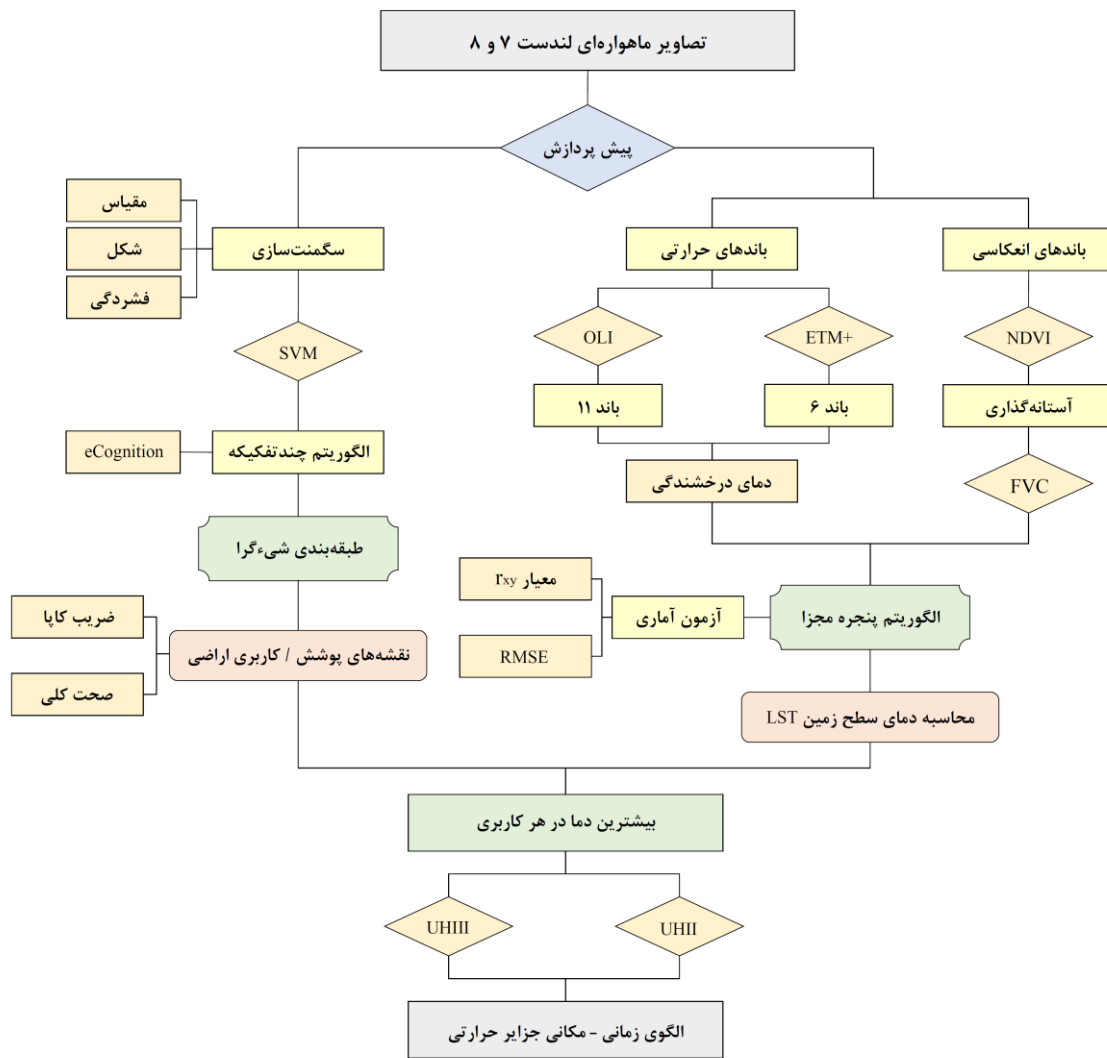
شهرستان شوستر با وسعت $340,645/2$ هکتار در شمال استان خوزستان قرار گرفته است. موقعیت جغرافیایی این شهرستان حد فاصل ۴۸ درجه و ۳۳ دقیقه تا ۴۹ درجه و ۱۲ دقیقه طول شرقی و ۳۱ درجه و ۳۶ دقیقه تا ۳۲ درجه و ۲۶ دقیقه عرض شمالی (شکل ۱) است. متوسط بارندگی سالانه 322 میلی‌متر است و بیشترین نزولات جوی در ماههای دی و بهمن بوده است (Mombeni and Asgari, 2018). این شهرستان با جمعیت 192028 نفر (سرشماری سال ۱۳۹۵)، در ارتفاع 110 متری از سطح دریا قرار دارد و با توجه به فاصله بهنسبت زیاد آن از خلیج فارس، با بهره‌مندی از رطوبت کمتر، دارای آب‌وهوای گرم و نیمه‌مرطوب است (Merdasi *et al.*, 2018). حداکثر دمای مطلق 52 درجه سانتی‌گراد در تیرماه و حداقل آن -6 درجه سانتی‌گراد در دی‌ماه گزارش شده است.

۲- روش پژوهش

در پژوهش حاضر، ابتدا تغییرات کاربری شهرستان

کاهشی داشتند. بین پوشش و دمای سطح زمین رابطه معناداری وجود دارد که این موضوع، ایجاد جزایر حرارتی روی پوشش‌های ساخته‌شده حیریم شهر را آشکار کرد. دما در مناطق مسکونی منطقه $2/27$ درجه سانتی‌گراد افزایش داشته است.

شهرستان شوستر در سالیان گذشته تغییرات زیادی را در کاربری تجربه کرده و از رشد جمعیتی بسیاری برخوردار بوده که افزایش دمای سطح زمین و تشکیل جزایر حرارتی را در پی داشته است. با توجه به اهمیت برآورد دمای سطح زمین در تغییرات اقلیمی و محیطی که سبب افزایش دما، مصرف انرژی، آلودگی هوا و اثر بر کیفیت هوا می‌شود، هدف پژوهش حاضر، بررسی تأثیرات تغییر کاربری بر الگوهای زمانی و مکانی دمای سطح زمین و جزایر حرارتی در دوره‌ای هجدسه‌ساله (۲۰۰۲ تا ۲۰۲۰) در شهرستان شوستر است. پژوهش حاضر افزاون بر بررسی تأثیر تغییرات هر کاربری بر تغییرات دمای سطح زمین، به معرفی و استفاده از شاخص‌های UHII و UHIII برای تحلیل زمانی-مکانی دمای سطح زمین و جزایر حرارتی پرداخته است.



شکل ۲- مراحل اجرای پژوهش

شده در انتخاب تصاویر ماهواره‌ای بودند. همچنین تلاش شد که تصویر مناسب در طول سال به گونه‌ای انتخاب شود که بهترین تفکیک کاربری و پوشش زمین را با توجه به کاربری‌ها و نحوه بهره‌برداری از اراضی داشته باشد. برای تصحیح انتمسفری تصاویر ماهواره‌ای، از تکنیک کاهش ارزش پیکسل‌های تاریک (Dark Pixel Subtraction) در محیط نرم‌افزار ENVI 4.7 استفاده شد. با این فرضیه که پیکسل تاریک با حداکثر احتمال، کمترین انعکاس طیفی را دارد و متعلق به آب عمیق و سایه میان تصویر است که انعکاس آن صفر است؛ زیرا در صورت وجود ذرات

شوشتار در سال‌های ۲۰۰۲، ۲۰۱۳ و ۲۰۲۰ بررسی شد. در ادامه برای ارزیابی ارتباط تغییرات هر کاربری با دمای سطح زمین، بیشترین دما در هر کاربری تعیین شد و سپس میزان تغییرات آن بررسی و در نهایت با استفاده از آن، نواحی مستعد جزایر حرارتی ارزیابی شد (شکل ۲). برای بررسی تغییرات کاربری اراضی، از تصاویر Lndst ۷ تاریخ ۲۰۰۴/۰۵/۲۸ و OLI lndst ۸ دو تاریخ ۲۰۲۰/۰۶/۰۱ و ۲۰۱۳/۰۹/۰۴ ویژگی‌هایی مانند کامل بودن پوشش منطقه و نبود پوشش ابری در تاریخ‌های انتخاب شده، از موارد لحاظ

جدول ۱- وزن اعمال شده برای پارامترهای مؤثر در سگمنت‌سازی

تصویر ماهواره‌ای	مقیاس	شكل	فسردگی	۰/۷
ETM+	۲۰	۰/۱	۰/۴	OLI
OLI	۱۳۰	۰/۱	۰/۴	OLI
OLI	۱۵۰	۰/۱	۰/۴	

جدول ۲- مقادیر QCALMIN و QCALMAX، K2 و K1

QCALMIN	QCALMAX	K2	K1	سنجدنه
۱	۲۵۵	۱۲۸۲/۷۱	۶۶۶/۰۹	ETM+
۱	۶۵۵۳۵	۱۳۲۱/۰۷۸۹	۷۷۴/۸۸۵۳	OIL

شکل، نرمی، فسردگی و وزن‌های متناسب برای باندهای تصویری استفاده می‌کند (Yarahmadi *et al.*, 2020). در این پژوهش، براساس آزمون و خطا و بررسی چشمی نتیجه سگمنت‌سازی، مقادیر پارامترهای مقیاس، شکل و فسردگی تعیین شد (جدول ۱). بهدلیل ماهیت متفاوت باندهای حرارتی و باندهای انعکاسی در تصاویر به کاررفته، باندهای حرارتی کنار گذاشته شد و تنها شش باند از این تصاویر استفاده شد (Hasheminasab and Jafari, 2018). تعیین وزن باندهای طیفی در سگمنت‌سازی و تولید اشیای تصویر اثربدار و کنترل‌کننده است (Drăguț *et al.*, 2010). در این زمینه، برای استفاده کامل از ظرفیت باندهای تصاویر به کارگرفته شده، کل وزن باندها ۱۰۰ و وزن باند مادون قرمز نزدیک ۴۰ در نظر گرفته شد، چراکه پهنه‌های آب و پوشش گیاهی به باند مادون قرمز نزدیک حساس‌اند (Kaplan and Avdan, 2017). بهدلیل وزن بیشتر این باند نسبت به دیگر باندهای تصویر، عدد بزرگ‌تر تعریف می‌شود. با تفسیر منحنی‌های انعکاس طیفی و ارزیابی هیستوگرام همبستگی نوارها، بهترین ترکیب نواری با کمترین ضریب همبستگی و بیشترین واریانس در بین ترکیبات باندی، برای طبقه‌بندی تصاویر انتخاب شد. پس از انتخاب ترکیب نواری مناسب، وزن برای نوارهای تصویر اعمال شد.

پراکنده در جو، پراکنش جوی سبب می‌شود که عملاً انعکاس طیفی پیکسل‌های تاریک صفر نباشد (Soffianian and Khodakarami, 2011).

۱-۲-۲. تهیه نقشه‌های کاربری اراضی

طبقه‌بندی شیءگرا از فرایند دسته‌بندی و الگوریتم یادگیری برای تجزیه و تحلیل ویژگی‌های طیفی، مکانی و بافتی پیکسل‌ها بهره می‌برد. این فرایند طبقه‌بندی نیمه اتوماتیکی را فراهم می‌کند که از روش‌های طبقه‌بندی پیکسل‌پایه دقیق‌تر است. مزیت روش شیءگرا این است که از پیکسل‌های منفرد استفاده نمی‌کند، بلکه مجموعه‌ای از پیکسل‌های مجاور را با اطلاعات طیفی، بافتی و هندسی مشخص می‌کند. با در نظر گرفتن این اطلاعات با روش مبتنی بر اشیاء، امكان دستیابی به نتایج بهتر فراهم می‌شود (Mohammadi and Khodabandehlou, 2020). بنابراین در این پژوهش برای طبقه‌بندی تصاویر ماهواره‌ای از روش شیءگرا استفاده شد. طبقه‌بندی شیءگرا در سه مرحله کلی شامل سگمنت‌سازی (قطعه‌بندی)، طبقه‌بندی و ارزیابی صحت طبقه‌بندی انجام می‌پذیرد (Salmani *et al.*, 2019). برای سگمنت‌سازی، از الگوریتم چندتفکیکیه استفاده شد. نرم‌افزار eCognition 8.7 برای سگمنت‌سازی چندتفکیکیه از شاخصه‌های مقیاس، رنگ،

جدول ۳- نتایج ارزیابی صحت نقشه‌های کاربری اراضی

سال	تصویر	ضریب کاپا	صحت کلی
۲۰۰۲	ETM+	۸۴	۸۶
۲۰۱۳	OIL	۸۵	۸۸
۲۰۲۰	OIL	۸۷	۹۵

زمین از روش‌های دیگر بیشتر است. مبنای الگوریتم پنجره مجزا، تفاوت جذب در دو باند مختلف در روزهای جوی است. با اجرای این روش، اثر اتمسفر از اندازه‌گیری‌ها حذف و دما محاسبه می‌شود (Heydari, 2020 and Akhoondzadeh Hanzaei, 2020 تعیین دمای سطح زمین با الگوریتم پنجره مجزا از باند ۶ تصویر ETM+ لندست ۷ استفاده شد.

اعداد رقومی تصاویر با استفاده از رابطه ۱ به رادیانس تبدیل و دمای درخشندگی تصاویر نیز محاسبه شد (رابطه ۲). برای نتایج پژوهش Sekertekin و Bonafoni (۲۰۲۰) و Wang و همکاران (۲۰۱۹)، نقشه LST تهیه شده با باند حرارتی ۱۱ تصاویر OLI لندست ۸، از اعتبار بیشتری نسبت به باند حرارتی ۱۰ برخوردار است و نتایج دقیقی تولید می‌کند. از این‌رو برای استخراج دمای سطح زمین از تصویر OLI از باند ۱۱ استفاده شد.

(رابطه ۱)

$$\lambda = [(LMAX - LMIN) / (QCALMAX - QCALMIN)] \times (DN - QCALMIN) + LMIN$$

(رابطه ۲)

TB = K2 / ln [(K1/Lλ)+1] در رابطه ۱، LMAX و LMIN به ترتیب مقادیر بیشترین و کمترین رادیانس باندهای حرارتی تصاویر را نشان می‌دهند و QCALMIN و QCALMAX مقادیر بزرگ و کوچک اعداد رقومی باندهای حرارتی هستند (جدول ۲). این مقادیر از هدر فایل تصاویر استخراج شد. در رابطه ۲، مقادیر K1, TB, K2 و Lλ به ترتیب دمای مؤثر در

در روش شیء‌گراء، نواحی تعليمی به صورت اشیاء تصویری هستند. این روش در مقایسه با روش‌های پیکسل‌پایه به نمونه‌های تعليمی کمتری نیاز دارد. شیء نمونه به طور معمول پیکسل‌های نمونه زیاد و تغییرات آنها را در بر می‌گیرد. میزان صحت طبقه‌بندی به طور مستقیم به انتخاب دقیق نمونه‌ها بستگی دارد (Mohammadi and Khodabandehlou, 2020 برای طبقه‌بندی و تهیه نقشه کاربری اراضی سال‌های ۲۰۰۲، ۲۰۱۳ و ۲۰۲۰ نمونه آموزشی با استفاده از GPS در طی بازدیدهای میدانی برداشت شد. در برداشت نمونه‌های آموزشی سعی شد نمونه‌ها از پراکنش مناسبی در سطح تصویر برخوردار باشند. با رعایت فواصل نمونه‌برداری محل نمونه‌ها در سطح هر کاربری به صورت تصادفی انتخاب شد طبقه‌بندی تصاویر با الگوریتم ماشین بردار پشتیبان در نرم‌افزار eCognition صورت گرفت و در آن شیء‌های تصویری برپایه الگوریتم چندتفکیکی به کلاس‌های کاربری اراضی اختصاص یافت. سپس دقت طبقه‌بندی با استفاده از ماتریس خطأ، صحت کلی و ضریب کاپا ارزیابی شد.

۲-۲-۲. محاسبه دمای سطح زمین (LST)

در این پژوهش، استخراج دمای سطح زمین با استفاده از الگوریتم پنجره مجزا انجام گرفت. زیرا اتمسفری را حذف می‌کند و دمای سطح زمین را با استفاده از ترکیبات خطی و غیرخطی دمای ظاهری دو باند مجاور به مرکزیت طول موج‌های ۱۱ و ۱۲ میکرومتر بدست می‌آورد. دقت این الگوریتم برای محاسبه دمای سطح

جدول ۴- کاربری‌های طبقه‌بندی شده در تصاویر ماهواره‌ای

کلاس	پوشش گیاهی	نواحی باز	مناطق	ساختمان	پهنه‌های آب
جنگل‌ها و مراعع، باغ‌ها و نخلات، اراضی کشاورزی، چمن، پارک‌ها و فضای سبز	پوشش گیاهی				
فضاهای باز و نواحی بدون پوشش گیاهی	نواحی باز				
مناطق مسکونی، مراکز تجاری و صنعتی، خیابان‌ها و راه‌های ارتباطی	مناطق				
روودخانه‌ها	ساختمان				
	پهنه‌های آب				

می‌توان آن را یکی از عوامل تأثیرگذار در محاسبه دمای سطح زمین (LST) به شمار آورد (Feizizadeh *et al.*, 2016). شاخص پوشش گیاهی NDVI که بر ارزش‌های طیفی استوار است، به طور عمده برای شناسایی شرایط رشد پوشش گیاهی کاربرد دارد (Nateghi *et al.*, 2017) و بر حسب باندهای قرمز و مادون قرمز نزدیک به صورت زیر تعریف می‌شود:

(رابطه ۵)

$$\text{NDVI} = (\text{NIR} - \text{RED}) / (\text{NIR} + \text{RED})$$

دارای مقادیر نرمال در دامنه بین -1 و $+1$ است که بررسی و نمایش مقادیر را به راحتی امکان‌پذیر می‌کند (Entezari *et al.*, 2019). مقدار این شاخص تحت تأثیر عواملی قرار می‌گیرد و در دمای منطقه اثرگذار است، به طوری که مناطق دارای پوشش گیاهی و آب، به دلیل داشتن رطوبت نسبی، دمای کمتری از مناطق عاری از پوشش گیاهی و آب دارند (Feizizadeh *et al.*, 2016).

۴-۲-۲. نسبت پوشش گیاهی

از مقادیر نسبت پوشش گیاهی، توان تشبع‌شی در استخراج دمای سطح زمین مهم است (Shabani *et al.*, 2019). با استفاده از رابطه‌های ۶ و ۷، نسبت پوشش گیاهی و توان تشبع‌شی باندهای حرارتی محاسبه شد.

(رابطه ۶)

$$[(\text{NDVI} - \text{NDVIMIN}) / (\text{NDVIMAX} - \text{PV})] ^ 2$$

(رابطه ۷)

$$\varepsilon = \varepsilon_{\text{veg}} \text{PV} + \varepsilon_{\text{soil}} (1 - \text{PV})$$

ماهواره بر حسب کلوین (K)، ثابت کالیبراسیون اول، ثابت کالیبراسیون دوم و رادیانس طیفی پیکسل مورد نظر است. در روش‌های استخراج LST باید تابش طیفی و دمای درخشندگی باندهای حرارتی تصویر محاسبه شوند. همه اجسامی که دمای آنها بیشتر از صفر مطلق باشد، از خود حرارت گسیل می‌کنند. بر این مبنای علائم رسیده به سنجنده را می‌توان با استفاده از رابطه ۳ به تابش در سطح سنجنده (یا تابش طیفی) تبدیل کرد (راهنمای لندست ۸):

(رابطه ۳)

$$L\lambda = ML \times Qcal + AL$$

$L\lambda$ تابش طیفی در بالای اتمسفر، ML عامل مقیاس‌سازی ضربی باند خاص، AL عامل مقیاس‌سازی افزایشی باند خاص و $Qcal$ عدد رقومی (DN) باند مورد نظر است. مرحله بعد تبدیل تابش به دمای درخشندگی در سنجنده است.

(رابطه ۴)

$$T_{\text{sensor}} = K2 / \ln(K1 / L\lambda + 1)$$

T_{sensor} دمای درخشندگی (درجة کلوین)، $L\lambda$ تابش طیفی، \ln لگاریتم نپرین، $K1$ و $K2$ ثابت‌های کالیبراسیون سنجنده هستند که از فایل مرجع برداشت شدند (Ebrahimi *et al.*, 2016).

۴-۲-۳. برآورد شاخص پوشش گیاهی (NDVI)

شاخص پوشش گیاهی تأثیر زیادی در نقل و انتقال ارزشی بین زمین و اتمسفر دارد و آثار متفاوتی بر عناصر اقلیمی از جمله دمای پیرامون خود می‌گذارد، در نتیجه

بنجره مجرزا و N تعداد کل ایستگاههای هواشناسی است (Kazemi et al., 2020).

۲-۶. شدت جزایر حرارتی (UHII) و شاخص شدت جزایر حرارتی (UHIII)

شدت جزایر حرارتی با استفاده از رابطه ۱۲ و شاخص شدت جزایر حرارتی بر مبنای رابطه ۱۳ استخراج شد. گفتنی است که شاخصهای منطقه به سه طبقه پوشش گیاهی کم، متوسط و زیاد تقسیم و سپس دمای سطح زمین در هر طبقه مشخص شده و در ادامه شاخصهای UHII و UHIII محاسبه می‌شود.

(رابطه ۱۲)

$$UHII = T_{OA} - T_{MH}$$

(رابطه ۱۳)

$$UHIII = (T_{OA} - T_{MH}) / T_{MH} = UHII / T_{MH}$$

دمای نواحی دیگر و T_{MH} دمای نواحی دارای پوشش گیاهی زیاد است. این شاخص توزیع فضایی شدت جزایر حرارتی را محاسبه می‌کند (Feng et al., 2014). ارزش‌های بزرگ‌تر از ۵/۰ در این شاخص، مبین شدت جزایر حرارتی در مقیاس‌های زمانی مختلف است (Chen and Zhang, 2017).

۳. نتایج

۳-۱. بررسی تغییرات کاربری اراضی

پس از طبقه‌بندی تصاویر ماهواره‌ای، هر یک از نقشه‌های پوشش/ کاربری اراضی به چهار کلاس شامل پوشش گیاهی، نواحی بایر، مناطق ساخته شده و پهنه‌های آب تفکیک شد (شکل ۳). نتایج اعتبارسنجی نقشه‌های به دست آمده در جدول ۳ و مشخصات کلاس‌های کاربری در جدول ۴ آورده شده است.

جدول ۵، مساحت کاربری‌ها و میزان تغییرات آنها را نشان می‌دهد. در سال‌های ۲۰۰۲ و ۲۰۱۳، پوشش گیاهی و در سال ۲۰۲۰، نواحی بایر، بیشترین مساحت را

در رابطه ۶، مقدار PV نسبت پوشش گیاهی، NDVIMIN و NDVIMAX بهترین بیشترین و کمترین شاخص پوشش گیاهی، و در رابطه ۷، soil veg بهترین توان تشعشعی، توان تشعشعی خاک و توان تشعشعی پوشش گیاهی است. از روش‌های محاسبه توان تشعشعی خاک و پوشش گیاهی، استفاده از آستانه‌گذاری NDVI است؛ مقدار کمتر از ۰/۲ میان خاک لخت است و توان تشعشعی خاک لخت لحظه‌ی شود و مقدار بیشتر از ۰/۵ بیانگر مناطق با پوشش گیاهی زیاد است و توان تشعشعی پوشش گیاهی برای آن فرض می‌شود (Hashemi et al., 2013). با انجام دادن مراحل، LCT از طریق رابطه ۸ استخراج و برای تبدیل درجه کلوین به سلسیوس از رابطه ۹ استفاده شد.

(رابطه ۸)

$$LST = TB / [1 + (L\lambda \times TB / P) \ln E]$$

(رابطه ۹)

$$Tc = LST - 273.15$$

۲-۵. ارزیابی نتایج

در این پژوهش، برای بررسی رابطه دمای سطح زمین با دمای هوای از ضریب همبستگی پیرسون (r_{xy}) استفاده شد (رابطه ۱۰). همچنین، مقادیر خطای جذر میانگین مربعات (RMSE) بین دمای حاصل از الگوریتم پنجره مجرزا و دمای اندازه‌گیری شده میدانی، مطابق رابطه ۱۱ محاسبه گردید.

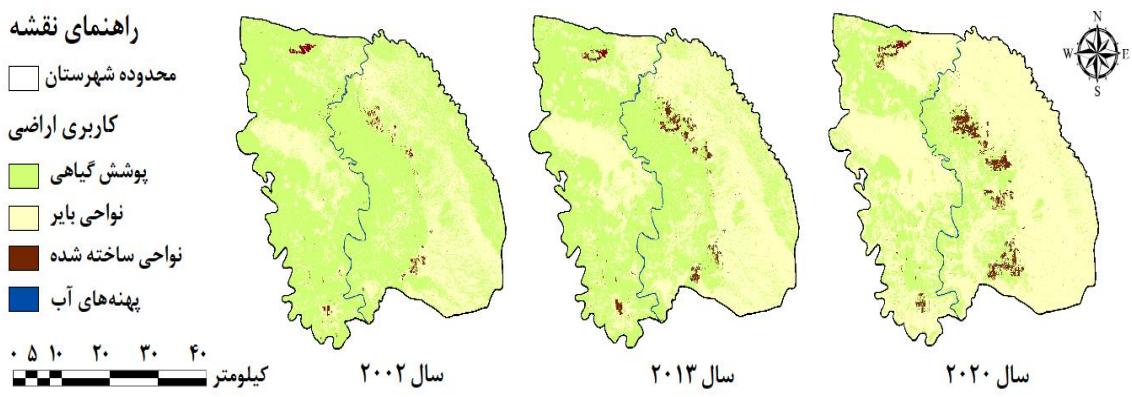
(رابطه ۱۰)

$$r_{xy} = S_{xy} / \sqrt{S_x S_y}$$

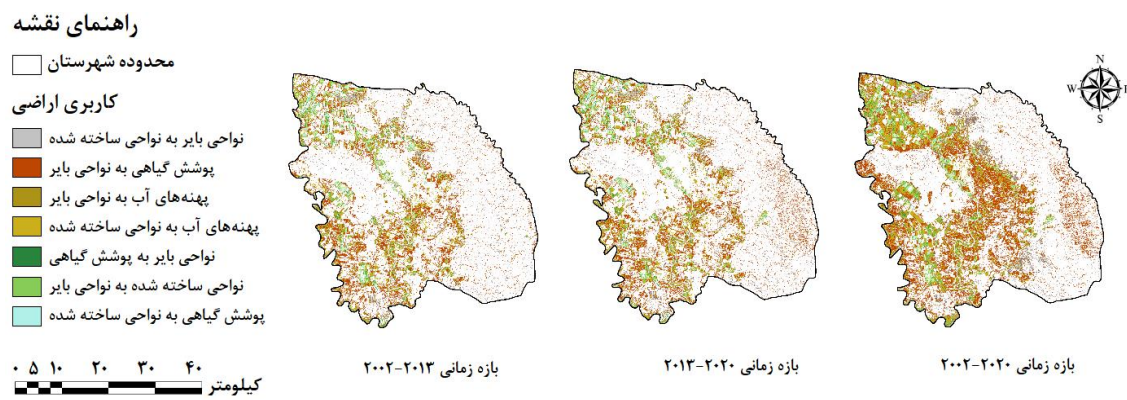
(رابطه ۱۱)

$$RMSE = \sqrt{\frac{\sum_{t=1}^n (At - Ft)^2}{n}}$$

ترتیب کوواریانس میان x و y ، انحراف معیار x و انحراف معیار y هستند (Sabziparvar et al., 2016). در رابطه ۱۱، A_t مقدار واقعی دما در ایستگاههای هواشناسی، F_t مقدار پیش‌بینی شده و به دست آمده از الگوریتم



شکل ۳- نقشه‌های کاربری اراضی سال‌های ۲۰۰۲، ۲۰۱۳ و ۲۰۲۰



شکل ۴- نقشه‌های تغییرات پوشش / کاربری اراضی در دوره‌های زمانی مختلف

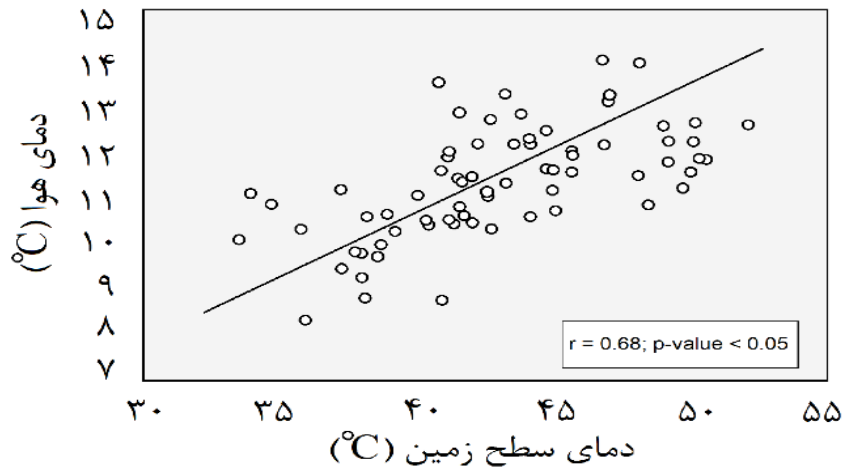
دماه سطح زمین و دمای هوا دو متغیر محیطی متفاوت است که با یکدیگر همبستگی دارند (Vali *et al.*, 2019). برای بررسی رابطه دمای سطح زمین با دمای هوا بین این مقادیر، ضریب همبستگی پیرسون تعیین شد. برای تعیین ضریب همبستگی از داده‌های روزانه دمای هوا مربوط به تاریخ تصاویر استفاده و سپس میانگین دمای هوا در هر سال مشخص شد. در ادامه ضریب همبستگی بین میانگین دمای هوا با میانگین دمای سطح زمین تعیین شد. ضریب همبستگی پیرسون بین این مقادیر 0.68 درصد در سطح معناداری 0.05 (در سال‌های ۲۰۰۲ و ۲۰۲۰) به دست آمد که ارتباط مثبتی را نشان می‌دهد (شکل ۵). همبستگی مثبت بین دمای هوا و دمای سطح زمین، با نتایج پژوهش Mutiibwa و همکاران (۲۰۱۵) مطابقت دارد. آنها گزارش کردند که

داشتند. پهنه‌های آب در همه سال‌ها کمترین مساحت را داشته است. مساحت مناطق ساخته شده و نواحی بایر روند افزایشی و پوشش گیاهی و پهنه‌های آب روند کاهشی داشته‌اند، به‌طوری که تغییرات افزایشی مناطق ساخته شده که از علل اصلی افزایش دمای سطح زمین است، از سال ۲۰۰۲ تا ۲۰۲۰ حدود $21895/40$ هکتار و $43790/79$ هکتار کاهش پوشش گیاهی در همین دوره $26761/04$ هکتار بوده است (شکل ۴). افزایش نواحی بدون پوشش گیاهی، از دلایل افزایش دمای سطح زمین است. نتایج بیانگر روند افزایشی نواحی بایر است، به‌طوری که از سال ۲۰۰۲ تا ۲۰۲۰ حدود $26761/04$ هکتار به مساحت این نواحی افزوده شده است.

۲-۳. دمای سطح زمین

جدول ۵- مساحت طبقات کاربری اراضی در هر سال و میزان تغییرات آنها

طبقات کاربری اراضی (هکتار)				سال
پهنه‌های آب	مناطق ساخته شده	نواحی بایر	پوشش گیاهی	
۱۷۰۲۹/۷۵	۲۱۸۹۵/۳۹	۹۷۳۱۲/۸۶	۱۰۷۰۴۴/۱۵	۲۰۰۲
۱۴۵۹۶/۹۳	۳۴۰۵۹/۵۰	۱۰۴۶۱۱/۳۲	۹۰۰۱۴/۴۰	۲۰۱۳
۱۲۱۶۴/۱۱	۴۳۷۹۰/۷۹	۱۲۴۰۷۳/۹۰	۶۳۲۵۳/۳۶	۲۰۲۰
-۲۴۳۲/۸۲	+۱۲۱۶۴/۱۱	+۷۲۹۸/۴۶	-۱۷۰۲۹/۷۵	۲۰۰۲-۲۰۱۳
-۲۴۳۲/۸۲	+۹۷۳۱/۲۹	+۱۹۴۶۲/۵۸	-۲۶۷۶۱/۰۴	۲۰۱۳-۲۰۲۰
-۴۸۶۵/۶۴	+۲۱۸۹۵/۴۰	+۲۶۷۶۱/۰۴	-۴۳۷۹۰/۷۹	۲۰۰۲-۲۰۲۰



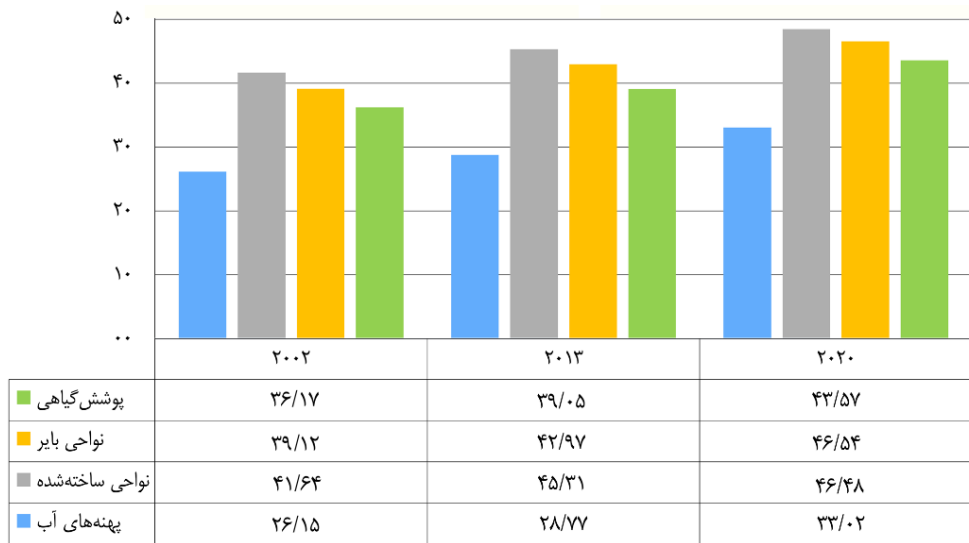
شکل ۵- رابطه بین دمای سطح زمین LST و دمای هوا

الگوریتم مذکور نتایج قابل اعتماد و مطمئنی را در برآورد دمای سطح زمین ارائه می‌دهد.

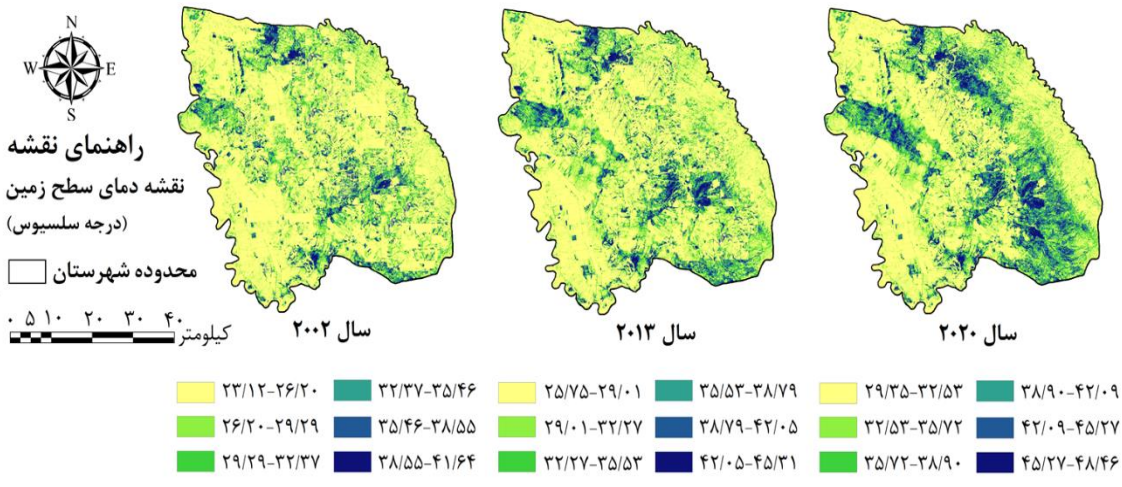
نتایج مربوط به دمای سطح زمین، روند افزایشی را در طی دوره تحقیق نشان می‌دهد که از ۳۶ درجه سانتی‌گراد در سال ۲۰۰۲ به ۴۳ درجه سانتی‌گراد در سال ۲۰۲۰ رسیده است؛ به بیان دیگر طی دوره هجده‌ساله، ۷ درجه سانتی‌گراد به دمای سطح زمین افزوده شده است. استخراج بیشترین دمای هر کاربری (شکل ۶)، وضعیت دمایی را در هر کاربری مشخص می‌کند که با بررسی نتایج آن، درک بهتری از اثر تغییرات کاربری‌ها بر دمای سطح زمین خواهیم داشت.

پس از استخراج دمای سطح زمین، بیشترین دمای هر کاربری مشخص شد که نتایج حاکی از روند افزایشی دما

بدون لحاظ تأثیر عوامل محیطی، تغییرات دمای سطح زمین قادر به بیان دلیل افزایش دمای هوا خواهد بود. در این تحقیق، خطای جذر میانگین مربعات (RMSE)، در مقایسه دمای محاسبه شده از الگوریتم پنجره مجزا و دمای اندازه‌گیری شده میدانی، برای تصاویر سال‌های ۲۰۰۲، ۲۰۱۳، ۲۰۲۰ و به ترتیب ۲/۱۲، ۱/۶۴ و ۰/۹۴ به دست آمد که نشان‌دهنده کارایی الگوریتم پیشنهادشده در تخمین دمای سطح زمین بوده است. براساس نتایج به دست آمده، کمترین خطای RMSE برای تصویر سنجنده OLI سال ۲۰۲۰ محاسبه شد. دقت و توانایی الگوریتم پنجره مجزا برای تخمین دمای سطح زمین با استفاده از تصاویر لنdest با نتایج پژوهش Feizizadeh و همکاران (۲۰۱۶) مطابقت دارد. براساس نتایج پژوهش آنها،

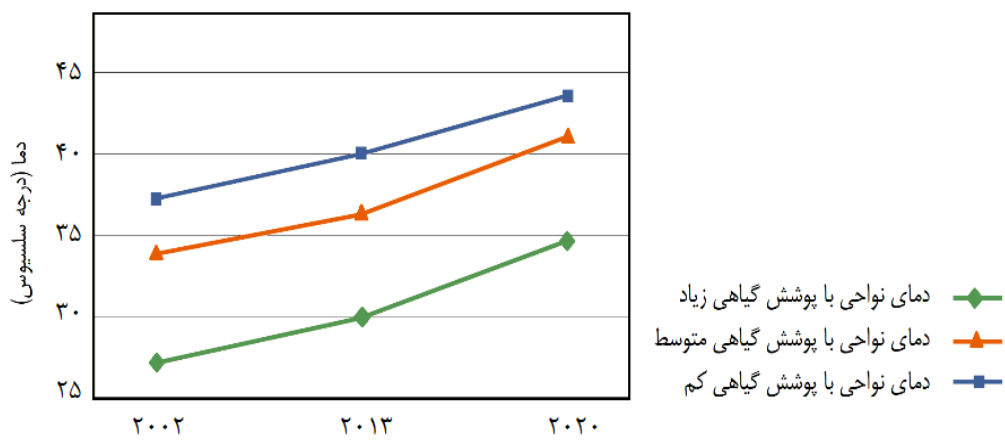


شکل ۶- بیشترین دما در طبقات کاربری‌ها (درجه سلسیوس)



دماهی سطح زمین را در بی دارد؛ اما چنانچه پوشش گیاهی از بین بود، فرایند بازتابش دما صورت نمی‌گیرد و این وضعیت در گذر زمان موجب افزایش دمای سطح زمین می‌شود. با بررسی بیشترین دما در کاربری پوشش گیاهی مشاهده شد که در سال ۲۰۰۲ که پوشش گیاهی نسبت به سال ۲۰۲۰ وضعیت بهتری داشت، دمای سطح زمین این کاربری کم بود؛ اما در گذر زمان با کاهش پوشش گیاهی، دما افزایش یافته است. در دوره سال‌های ۲۰۰۲ تا ۲۰۲۰، دمای سطح زمین در پهنه‌های آب در حدود ۶/۸۷ درجه سانتی‌گراد افزایش داشت، اما مقادیر

در کاربری‌های مناطق ساخته شده، نواحی بایر و پوشش گیاهی بود. براساس این نتایج، روند کاهشی پوشش گیاهی تأثیر مستقیم بر افزایش دمای سطح زمین در این کاربری داشته است و با بررسی نتایج دمای سطح زمین مشخص می‌شود که دمای این کاربری از سال ۲۰۰۲ تا ۲۰۲۰ حدود ۷/۴ درجه سانتی‌گراد بیشتر شده است. تخریب پوشش گیاهی به افزایش دمای سطح زمین می‌انجامد؛ زیرا پوشش گیاهی به مثابهٔ یکی از دلایل مهم تعديل دمای سطح زمین سبب می‌شود که فرایند جذب دما در یک ناحیه صورت نگیرد که این موضوع کاهش



شکل ۸- دمای طبقات پوشش گیاهی در دوره زمانی پژوهش

ساخته شده موجب نگهداشت بیشتر دما و افزایش دمای سطح زمین در این نواحی می شود و ادامه این روند به ایجاد یا تشدید جزایر حرارتی در مناطق ساخته شده می آنجامد. در سال ۲۰۲۰، نواحی بایر دمای بیشتری نسبت به نواحی ساخته شده داشته است. دمای زیاد اراضی بایر نسبت به مناطق شهری ناشی از آن است که انعکاس در اراضی بایر کم است و در نتیجه این مناطق نور بیشتری را در خود نگه می دارند (Georgescu *et al.*, 2011). روند افزایش دما بهدلیل انعکاس کم، عامل مهمی برای شکل‌گیری جزایر حرارتی در نواحی بایر است.

۳-۳. بررسی زمانی و مکانی دمای سطح زمین و جزایر حرارتی

بررسی زمانی و مکانی، از مراحل مهم شناخت جزایر حرارتی است که در این پژوهش براساس شاخص های UHII و UHIII انجام گرفت. همان طور که در شکل ۸ ملاحظه می شود، کمترین دما در طبقه با پوشش گیاهی زیاد و بیشترین دما در طبقه با پوشش گیاهی کم بوده است. این موضوع اثر کاهش پوشش گیاهی بر افزایش دمای سطح زمین را نشان می دهد.

براساس نتایج شاخص های UHII و UHIII، جزایر حرارتی در سال های ۲۰۱۳ و ۲۰۲۰ و در نواحی شمال،

دما در کاربری از دیگر کاربری ها کمتر بود. ظرفیت گرمایی زیاد آب موجب کاهش دمای سطحی این پوشش ها نسبت به کاربری های دیگر می شود (Reisi and Ahmadi, 2019). در طی دوره زمانی هجده ساله، دمای سطح زمین در مناطق ساخته شده و نواحی بایر به ترتیب $6/82$ و $7/42$ درجه سانتی گراد افزایش یافت. با بررسی بیشترین دمای کاربری ها مشخص می شود که ارتباط مستقیمی بین افزایش دما و گسترش مناطق ساخته شده و نواحی بایر وجود داشته است؛ به طوری که در سال ۲۰۰۲ که مساحت مناطق ساخته شده و نواحی بایر کمتر بود، دمای این نواحی نیز کم بود (شکل ۷).

در سال های ۲۰۰۲ و ۲۰۱۳، بیشترین دما مربوط به نواحی ساخته شده بوده است. دمای سطحی زیاد در نواحی شهری نسبت به اراضی کشاورزی و پوشش های گیاهی و آب را می توان به سطوح نفوذناپذیر مانند بتون، آسفالت و کاشی نسبت داد که به طور گسترده ای در نواحی شهری استفاده می شوند (Zhang *et al.*, 2015). با رشد نواحی شهری و نابودی پوشش گیاهی، دمای سطح زمین در دوره زمانی مورد نظر روندی افزایشی را نشان می دهد. تبدیل چشم انداز طبیعی به چشم انداز مصنوعی بعضی تغییرات را در جذب، پخش و بازتابش انرژی خورشید ایجاد می کند و همزمان با رشد مناطق

تغییرات کاهشی و افزایشی کاربری‌های استخراج شده موجب افزایش دمای سطح زمین در طی دوره هجده ساله شده است؛ به طوری که با بررسی بیشترین دمای کاربری‌ها مشخص می‌شود که بیشترین دما در سال‌های ۲۰۰۲ و ۲۰۱۳ در مناطق ساخته شده و در سال ۲۰۲۰ در نواحی باир روی داده است. نتایج دمای سطح زمین در طی دوره هجده ساله نیز نشان‌دهنده روند افزایشی دما در همه کاربری‌هاست. روند کاهشی پوشش گیاهی، تأثیر مستقیمی بر افزایش دمای سطح زمین در این کاربری داشته است. با بررسی بیشترین دما در کاربری پوشش گیاهی به‌وضوح مشاهده می‌شود که در سال ۲۰۰۲ که پوشش گیاهی وضعیت بهتری داشت، دمای سطح زمین در این کاربری کم بود. اما در گذر زمان با تخریب پوشش گیاهی، دما روندی افزایشی در این نواحی داشت. این موضوع با نتایج پژوهش Entezari و همکاران (۲۰۱۶) مطابقت دارد. آنها گزارش کردند که افزایش بیابان‌زایی و کاهش پوشش گیاهی، روند افزایش دمای سطح زمین را تحت تأثیر قرار می‌دهد. نتایج تحقیق بیانگر این است که الگوریتم پنجره مجزا نتایج قابل اعتماد و دقیقی را در برآورد دمای سطح زمین ارائه داده که در پژوهش‌های جغرافیایی و علوم محیطی کاربرد دارد. در پژوهش حاضر، برای پایش زمانی و مکانی دمای سطح زمین و جزایر حرارتی از شاخص‌های NDVI، UHII، UHIII و مقادیر دمای سطح زمین استفاده شد. نتایج بیانگر دمای زیاد در طبقات با پوشش گیاهی کم است. برایه نتایج شاخص‌های UHII، UHIII پدیده جزایر حرارتی در سال‌های ۲۰۱۳ و ۲۰۲۰ در نواحی شمال، جنوب شرق و شمال غرب شهرستان شوستر ایجاد شده است. از شاخص‌های UHII، UHIII در پژوهش‌های Shi و همکاران (۲۰۱۷) و Shabani و همکاران (۲۰۱۹)

جنوب شرق و شمال غرب منطقه ایجاد شده است. جزایر حرارتی واقع در شمال و جنوب شرق، بدلیل زیاد بودن دمای سطح زمین در مناطق ساخته شده ایجاد شده است. توسعه نواحی مسکونی و صنعتی، گرمایش ساختمان‌ها، آلودگی هوا و استفاده از آسفالت در ساختن خیابان‌ها که جاذب نور است، از عوامل تشکیل جزایر حرارتی در این نواحی بوده‌اند. این بخش‌ها گرمای خورشید را جذب و در خود ذخیره می‌کنند. گرمای موجود در خیابان‌ها و ساختمان‌ها در شب به هوا منتقل شده و روند کاهش دما کند می‌شود. جزیره حرارتی واقع در شمال غرب، در نواحی بایر با پوشش گیاهی کم ایجاد شده است. این جزیره بدلیل دمای زیاد ناشی از رسوبات ماسه‌ای در این ناحیه شکل گرفته و انعکاس پرتوهای ساطع شده از خورشید در آن کم بوده است. پوشش گیاهی با توجه به نقش تعديل‌کننده خود اثر زیادی بر کاهش دمای سطح زمین دارد و نتایج این تحقیق، مبین این است که در طبقه با پوشش گیاهی کم، دمای سطح زمین زیاد بوده، اما در طبقات با پوشش گیاهی زیاد و متراکم، دمای سطح زمین کم بوده است.

۴. نتیجه گیری

نتایج پژوهش، کارایی زیاد داده‌های لندست و پردازش شیء‌گرا برای طبقه‌بندی تصاویر و تحلیل تغییرات کاربری را نشان داد. در سگمنت‌سازی تصاویر، وزن پارامترهای مقیاس، شکل، فشردگی و باندهای تصویری، به‌شكل کاملاً محسوسی در وضوح و کیفیت تصویر تأثیر می‌گذارد که از این یافته می‌توان افزایش کیفیت سگمنت‌سازی را به خوبی توجیه کرد. نتایج حاصل از بررسی تغییرات کاربری در شهرستان شوستر، روند افزایشی کاربری مناطق ساخته شده و نواحی بایر را در طی سال‌های ۲۰۰۲ تا ۲۰۲۰ نشان داد. در همین دوره از مساحت پوشش گیاهی و پهنه‌های آب کاسته شد.

تأثیر کاهش پوشش گیاهی و گسترش مناطق مسکونی و نواحی بایر بر افزایش دمای سطح زمین است. دستاوردهای این پژوهش را می‌توان بهمنظور کسب اطلاعات از دمای سطح زمین، کاربری زمین و نیز تغییرات حادثشده در منطقه در اختیار متخصصان فرار داد تا با اتخاذ سیاست‌های مطلوب و درست، وضع آینده را پیش‌بینی کنند.

استفاده شد و نتایج پذیرفته‌ای در زمینه پایش زمانی و مکانی دمای سطح زمین بهدست آمد. نتایج این تحقیقات همسو با یافته‌های تحقیق حاضر بود. تأثیرات تغییرات کاربری بر دمای سطح زمین در پژوهش‌های Darvishi و همکاران (۲۰۱۶) و Akbari و همکاران (۲۰۱۹) همانند تحقیق حاضر نشان داده شده است؛ مقایسه نتایج تحقیقات با پژوهش حاضر، نشان‌دهنده

References

- Akbari, A., Ebrahimi, M., Nejad-Soleimani, H., Faizi-Zadeh, B., 2016. Assessment of land surface temperature in relation to the trend of land-use changes using satellite images: A case study of Taleghan watershed, Geography and Environmental Planning 26(4): 151-170. (In Persian)
- Blaschke, T., Feizizadeh, B., Holbling, D. 2014. Object based image analysis and digital terrain analysis for locating landslides in the Urmia lake basin of Iran, Selected Topics in Applied Earth Observations and Remote Sensing 7(12): 4806-4817.
- Bonye, S., Aasoglenang, T., Yiridomoh, G., 2021. Urbanization, agricultural land-use change and livelihood adaptation strategies in peri-urban Wa, Ghana. SN Social Sciences 1(1): 1-23.
- Borhani, K., Goodarzi, S., Ismaili, S., 2020. Feasibility study of using adaptation and mitigation strategies against urban heat islands: A case study of Tehran metropolis, Human Geography Research 52(1): 263-281. (In Persian)
- Chen, C., Li, W., Gao, L., Li, H., Plaza, J., 2018. Special issue on advances in real-time image processing for remote sensing, Real Time Image Processing 15(3): 435-438.
- Chen, X., Zhang, Y., 2017. Impacts of urban surface characteristics on spatiotemporal pattern of land surface temperature in Kunming of China, Sustainable Cities and Society 32(6): 87-99.
- Darvishi, S., Rashidpour, M., Soleimani, K. 2019. Investigating the relationship between land-use changes and lan surface temperature using satellite images: A case study of Marivan township, Geography and Development 17(54): 143-162. (In Persian)
- Drăguț, L., Tiede, D., Levick, S., 2010. ESP: a tool to estimate scale parameter for multiresolution image segmentation of remotely sensed data, Geographical Information Science 24(6): 859-871.
- Ebrahimi, B., Rengzen, K., Riahi, H., Taghizadeh, A., 2016. Determining the most appropriate method of extracting the land surface temperature using Landsat 8 satellite images in the metropolis of Karaj, Remote Sensing and GIS 8(3): 59-76. (In Persian)
- Entezari, A., Abolghasem, A., Aliabadi, K., Khosravian, M., Ebrahimi, M., 2016. Monitoring land surface temperature and evaluating change detection land-use: A case study of Parishan lake basin, Hydrogeomorphology 3(8): 113-139. (In Persian)
- Entezari, A., Zandi, R., Khosravian, M., 2019. Evaluation of spatial changes in vegetation and land surface temperature using Landsat and MODIS Images: A case study of Fars province, Watershed Engineering and Management 11(4): 929-940. (In Persian)
- Feizizadeh, B., Dideban, K., Gholamnia. 2016. Estimation of land surface temperature using Landsat 8 satellite imagery and split-window algorithm: A case study of Mahabad watershed, Geographical Data 25(98): 171-181. (In Persian)
- Feizizadeh, B., Khedmatzadeh, A., Nikjoo, M., 2018. Micro-classification of orchards and agricultural croplands by applying object based image analysis and fuzzy algorithms for estimating the area under cultivation, Applied Research in Geographical Sciences 18(48): 201-216. (In Persian)
- Fekrat, H., Asghari, S., Alavipanah, K., 2020. Estimation of Ardabil land surface temperature using

Landsat images and accuracy assessment of land surface temperature estimation methods with ground truth data, RS and GIS for Natural Resources 11(4): 114-136. (In Persian)

Feng, H., Zhao, X., Chen, F., Wu, L. 2014. Using land-use change trajectories to quantify the effects of urbanization on urban heat island, Advances in Space Research 53(3): 463-473.

Froese, R., Schilling, J., 2019. The nexus of climate change, land-use, and conflicts, Current Climate Change Reports 5(1): 24-35.

Georgescu, M., Moustaqui, M., Mahalov, A., Dudhia, J., 2011. An alternative explanation of the semiarid urban area oasis effect, Geophysical Research: Atmospheres 116, 1-13.

Ghorbannia, W., Mirsangari, M., Liaghati, H., Armin, M., 2017. Estimation of land surface temperature and land-cover of Dena Township using split-window algorithm and Landsat 8 satellite data, Environmental Sciences 15 (2): 55-74. (In Persian)

Gohain, K., Mohammad, P., Goswami, A. 2021. Assessing the impact of land-use/cover changes on land surface temperature over Pune city, India, Quaternary International 575: 259-269.

Hashemi, M., Alavipanah, K., Dinarvandi, M., 2013. Land surface temperature assessment in urban environment using thermal remote sensing, Environmental Studies, 39(1): 81-91. (In Persian)

Hasheminasab, S., Jafari, R., 2018. Evaluation of land-use changes order to desertification monitoring using remote sensing techniques, Spatial Analysis Environmental Hazarts 5(3): 67-82. (In Persian)

Heydari, M., Akhoondzadeh Hanzaei, M., 2020. Development a split-window algorithm to estimate land surface temperature from Sentinel-3 satellite data, Geospatial Information Technology 8(2): 93-113. (In Persian)

Huang, Q., Huang, J., Yang, X., Fang, C., Liang, Y. 2019. Quantifying the seasonal contribution of coupling urban land-use types on urban heat island using land contribution Index: A case study in Wuhan, China, Sustainable Cities and Society 44: 666-675.

Juárez, E., López-Martínez, J., Hernández-Stefanoni, J., Hernández-Nuñez, H., 2021. Impact of urban land-cover changes on the spatial-temporal land surface temperature in a tropical city of Mexico, Geo-Information 10(2): 1-16.

Kaplan, G., Avdan, U., 2017. Object-based water body extraction model using Sentinel-2 satellite imagery, Remote Sensing 50(1): 137-143.

Kazemi, M., Salmani, B., Feizizadeh, B. 2020. Evaluating the types of split-window algorithms for calculating the land surface temperature to determine the best algorithm for MODIS sensor images, RS and GIS for Natural Resources 11(2): 106-127. (In Persian)

Khedmatzadeh, A., Mousavi, M., Mohammadi-Turkmani, H., Mohammadi, M. 2021. Analysis of land-use change and the formation of heat islands in the boundaries of Urmia city using remote sensing, Regional Planning 11(41): 119-134. (In Persian)

Kiani-Salmi, A., Ebrahimi, A., 2018. Assessing the impact of urban development and land-cover changes on land surface temperature in Shahrekord, RS and GIS in Natural Resources 9(4): 102-118. (In Persian)

Kowe, P., Mutanga, O., Odindi, J., Dube, T., 2021. Effect of landscape pattern and spatial configuration of vegetation patches on urban warming and cooling in Harare metropolitan city, Zimbabwe, GIScience & Remote Sensing 58(2): 261-280.

Mathew, A., Khandelwal, S., Kaul, N., Chauhan, S. 2018. Analyzing the diurnal variations of land surface temperatures for surface urban heat island studies: Is time of observation of remote sensing data important, Sustainable cities and society, 40: 194-213.

McDaniel, M., Saha, D., Dumont, M., Hernández, M., Adams, M., 2019. The effect of land-use change on soil CH₄ and N₂O fluxes: a global meta-analysis, Ecosystems 22(6): 1424-1443.

Merdasi, G., Yazdanpanah, M., Forouzani, M., Baradaran, M., 2018. Application of analytical hierarchy process in analysis of agricultural systems: A case Study of Shooshtar township of Iran. Village and Development 21(1): 1-23. (In Persian)

Mohammadzadeh, K., Feizizadeh, B., 2020. Identifying and monitoring soil salinization in the eastern part of

Urmia Lake together with comparing capability of object based image analysis techniques, Water and Soil Conservation Research 27(3): 65-84.

Mohammadi, A., Khodabandehlou, B., 2020. Classification and assessment of land-use changes in Zanjan city using object-oriented analysis and Google Earth Engine system, Geography and Environmental Planning 31(2): 25-42. (In Persian)

Mombeni, M., Asgari, H., 2018. Monitoring, assessment and prediction of spatial changes of land-use/cover using Markov Chain model: A case study of Shoshtar Khuzestan, Geographical Data, 27(105): 35-47. (In Persian)

Mutiibwa, D., Strachan, S., Albright, T., 2015. Land surface temperature and surface air temperature in complex terrain, Selected Topics in Applied Earth Observations and Remote Sensing 8(10), 4762-4774.

Nateghi, S., Lamenter, A., Hoshang-Ehsani, A., Bazrafshan, A., 2017. Evaluating the vegetation changes upon vegetation index by using remote sensing, Rangeland and Desert Research 24(4): 778-790.

Niclòs, R., Puchades, J., Coll, C., Barberà, M. J., Pérez-Planells, L., Valiente, J., Sánchez, J., 2021. Evaluation of Landsat-8 TIRS data recalibrations and land surface temperature split-window algorithms over a homogeneous crop area with different phenological land-covers, Photogrammetry and Remote Sensing 174: 237-253.

Raut, S., Chaudhary, P., Thapa, L., 2020. Land-use/Cover Change Detection in Pokhara Metropolitan, Nepal Using Remote Sensing, Geoscience and Environment Protection 8(8): 25-35.

Reisi, M., Ahmadi, M., Aye, L. 2019. Remote sensing for urban heat and cool islands evaluation in semi-arid areas, Environmental Science and Management 5(3), 319-330.

Rodríguez, J., Echeverría, C., Oyarzún, C. & Morales, L. (2018). Impact of land-use change on biodiversity and ecosystem services in the Chilean temperate forests, Landscape Ecology 33(3): 439-453.

Sabziparvar, A., Fakharizadeh Shirazi, E., Nazemosadat, M., Rezaei, Y. 2016. Validation of land

surface temperature from Landsat-5 and MODIS images: A case study of wheat fields of Marvdasht plain, Water and Soil Conservation, 23(4): 25-43. (In Persian)

Salmani, S., Ebrahimi, H., Mohammadzadeh, K., Valizadeh-Kamran, K., 2019. Evaluation of different object-oriented classification techniques in land-use Extraction from Iconus satellite images, Geographical Data 28(111): 205-215. (In Persian)

Sekertekin, A., Bonafoni, S., 2020. Land surface temperature retrieval from Landsat 5, 7, and 8 over rural areas: assessment of different retrieval algorithms and emissivity models and toolbox implementation, Remote Sensing 12(2): 1-32.

Shabani, M., Darvishi, S., Soleimani, K., 2019. Investigating the effects of land-use changes on spatial-temporal patterns of land surface temperature and heat islands: A case study of Saqqez Township, Geography and Environmental Planning 30(1): 37-54. (In Persian)

Shi, Y., Katzschner, L., Ng, E., 2017. Modelling the fine-scale spatiotemporal pattern of urban heat island effect using land-use regression approach in a megacity, Science of the Total Environment, 618(15): 891-904.

Sieber, P., Ericsson, N., Hansson, P. 2019. Climate impact of surface albedo change in life cycle assessment: implications of site and time dependence. Environmental Impact Assessment Review 77: 191-200.

Soffianian, A., Khodakarami, L., 2011. Land-use mapping using fuzzy classification: A case study of three catchment areas in Hamedan province, Town and Country Planning, 3(4): 95-114. (In Persian)

Tran, D., Pla, F., Latorre-Carmona, P., Myint, S., Caetano, M., Kieu, H., 2017. Characterizing the relationship between land-use/cover change and land surface temperature, Photogrammetry and Remote Sensing 124: 119-132.

Vali, A., Mousavi, H., Abbasi, H., 2019. Analysis and evaluation of the trend of land-use change in Mobarakeh in order to achieve sustainable development, Urban Social Geography 6 (2): 73-86. (In Persian)

- Vali, A., Ranjbar, A., Mokarram, M., Taripanah, F., 2019. An investigation of the relationship between land surface temperatures, geographical and environmental characteristics, and biophysical indices from Landsat images, RS & GIS for Natural Resourcesn 10(3): 35-58.
- Wang, L., Lu, Y., Yao, Y. 2019. Comparison of three algorithms for the retrieval of land surface temperature from Landsat 8 images, Sensors 19(22): 1-22.
- Wang, M., He, G., Zhang, Z., Wang, G., Wang, Z., Yin, R., Cui, S., Wu, Z., Cao, X. 2019. A radiance-based split-window algorithm for land surface temperature retrieval: Theory and application to MODIS data, Applied Earth Observation and Geoinformation 76: 204-217.
- Wang, Y., Hu., S., Myint., C., Feng., C., Chow, W., Passy, P., 2018. Patterns of land change and their potential impacts on land surface temperature change in Yangon, Myanmar, Science of the Total Environment 643: 738-750.
- Wen, Y., Hu, C., Zhang, G., Jian, S., 2020. Response of the parameters of excess infiltration and excess storage model to land-use cover change, Hydrology and Hydromechanics 68(2): 99-110.
- Wolde, Z., Wei, W., Likessa, D., Omari, R., Ketema, H. 2021. Understanding the impact of land-use and land-cover change on water-energy-food nexus in the gidabo watershed, East African Rift Valley, Natural Resources Research 30(3): 2687-2702.
- Yarahmadi, J., Rostamizad, Q., Saei, H. 2020. Detection of changes in forest cover in an object-oriented way using satellite images in the Ilgneh-Chay watershed of Arasbaran forests, Protection and Exploitation of Hyrcanian Forests 1(2): 59-70. (In Persian)
- Yari, M., Soltani-Gerdefaramarzi, S., Ghasemi, M., 2019. Investigation of the effect of to land-use changes on flood hydrograph and fluctuations of groundwater level in part of Ghareh Souh basin, Geography and Environmental Hazards 8(3): 41-58. (In Persian)
- Zarei, A., Shah-Hosseini, R., Ranjbar, S., Hasanlou, M., 2021. Validation of non-linear split-window algorithm for land surface temperature estimation using Sentinel-3 satellite imagery: A case study of Tehran province, Iran, Advances in Space Research 67(12): 3979-3993.
- Zhang, Y., Balzter, H., Zou, C., Xu, H., Tang, F., 2015. Characterizing bi-temporal patterns of land surface temperature using landscape metrics based on sub-pixel classifications from Landsat TM/ETM+, Applied Earth Observation and Geoinformation 42, 87-96.
- Zhong, Y., Wang, J., Zhao, J. 2020. Adaptive conditional random field classification framework based on spatial homogeneity for high-resolution remote sensing imagery, Remote Sensing Letters 11(6): 515-524.